



## سنتز بیونانو کامپوزیت مغناطیسی $\text{Fe}_3\text{O}_4@\text{SiO}_2@\text{CS}$ با استفاده از سیلیس استخراج شده از کلش گندم جهت حذف رنگ بازیک قرمز ۴۶ از محلول های آبی

الهام نجفی، افسانه شهبازی\*، سوران کمری

پژوهشکده علوم محیطی، دانشگاه شهید بهشتی، تهران، ایران

**خلاصه:** کلش گندم به عنوان یک پسماند کشاورزی کم ارزش حاصل از فرآیند برداشت و عمل آوری گندم از مزارع شناخته می شود که سرشار از سیلیس بی شکل می باشد که فرآیند استخراج آن ساده بوده و نیاز به مواد شیمیایی و تجهیزات پیچیده ای ندارد و می تواند به عنوان یک ماده اولیه ارزان قیمت و در دسترس جهت تولید مواد بر پایه سیلیس مورد استفاده قرار گیرد. در مطالعه حاضر، سیلیس بی شکل و فعل از کلش گندم به روش شست و شوی اسیدی با اسیدهای مختلف شامل  $\text{HNO}_3$ ,  $\text{HCl}$ ,  $\text{H}_2\text{SO}_4$  و  $\text{H}_3\text{PO}_4$  با موفقیت استخراج گردید و از آن در سنتز نانو کامپوزیت

دریافت: ۱۳۹۸/۰۸/۲۴

بازنگری: ۱۳۹۸/۱۲/۰۳

پذیرش: ۱۳۹۸/۱۲/۰۵

ارائه آنلاین: ۱۳۹۸/۱۲/۲۰

**کلمات کلیدی:**

پسماند کشاورزی

کلش گندم

بیونانو کامپوزیت  $\text{Fe}_3\text{O}_4@\text{SiO}_2@\text{CS}$

جدب سطحی

بازیک قرمز ۴۶

@  $\text{SiO}_2@\text{Fe}_3\text{O}_4$  استفاده شد. سپس، نانو کامپوزیت سنتز شده توسط گروه عاملی کیتوسان (CS) عامل دار شده تا بیونانو کامپوزیت CS به دست آید. ویژگی های ساختاری مواد تولید شده با استفاده از آنالیز های XRF، XRD، FT-IR، VSM، BET، SEM و پتانسیل زتا مورد بررسی قرار گرفت. نتایج حاصل نشان داد، سیلیس بی شکل و فعل با خلوص ۹۶/۵٪ با استفاده از شست و شوی اسیدی با  $\text{HNO}_3$  از کلش گندم استخراج شده است. همچنین، نتایج حاصل از آنالیز VSM خاصیت سوبر پارامغناطیسی بیونانو کامپوزیت  $\text{SiO}_2@\text{Fe}_3\text{O}_4$  را با خاصیت مغناطیسی ۱۷/۵۵ emu g نشان داد. به علاوه، نتایج حاصل از حذف رنگ نشان داد، میزان حذف رنگ بازیک قرمز ۴۶ با استفاده از بیونانو کامپوزیت سنتز شده ۹۷٪ بوده و ظرفیت جذب آن ۱۷۰۰ mg ۱- باشد که در مقایسه با سایر جاذب ها بسیار بالاتر و مطلوب تر می باشد. جداسازی بیونانو کامپوزیت سنتز شده از محلول های رنگی با استفاده از یک آهنربای خارجی انجام شد.

### ۱- مقدمه

تشکیل می دهد [۲]. این سیلیس به شکل کریستاله و غیرفعال بوده و برای تبدیل آن به سیلیس بی شکل<sup>۱</sup> و فعل که قابلیت کاربرد در واکنش های شیمیایی و صنایع مختلف را داشته باشد، دمای بسیار بالا (حدود ۲۰۰۰ °C)، مواد شیمیایی مختلف و تجهیزات بسیاری مورد نیاز است. بنابراین، فرآیند بسیار پرهزینه ای خواهد بود و از نظر زیست محیطی نیز یک فرآیند صنعتی با آلودگی بالا می باشد. گیاهانی که ریشه در خاک دارند طی روند رشد خود سیلیس موجود در خاک را به شکل اسید سیلیسیک<sup>۲</sup> جذب می کنند [۴].

برخی از گیاهان همچون خانواده های Equisetum

سیلیس ( $\text{SiO}_2$ ) یک ماده خام اولیه است که با توجه به خصوصیات فیزیکی و شیمیایی منحصر به فرد آن دارای کاربردهای تکنولوژیکی بسیاری از جمله به عنوان عایق های حرارتی، مواد کامپوزیت پر کننده، عامل های تیکسو ترپوپیک و غیره می باشد [۱]. از جمله موارد استفاده از سیلیس می توان به استفاده از آن در صنایع شیشه سازی، سرامیک سازی، صنایع تولید سیمان، صنایع تولید دارو، صنایع تولید مواد آرایشی و بهداشتی و به طور کلی صنایع تولید مواد بر پایه سیلیس اشاره کرد [۲ و ۳]. سیلیس دومین عنصر از لحاظ فراوانی در پوسته زمین است و حدود ۳۲٪ از وزن آن را

\* نویسنده عهده دار مکاتبات: a\_shahbazi@sbu.ac.ir

۱ Amorphous silica

۲ Silicic acid

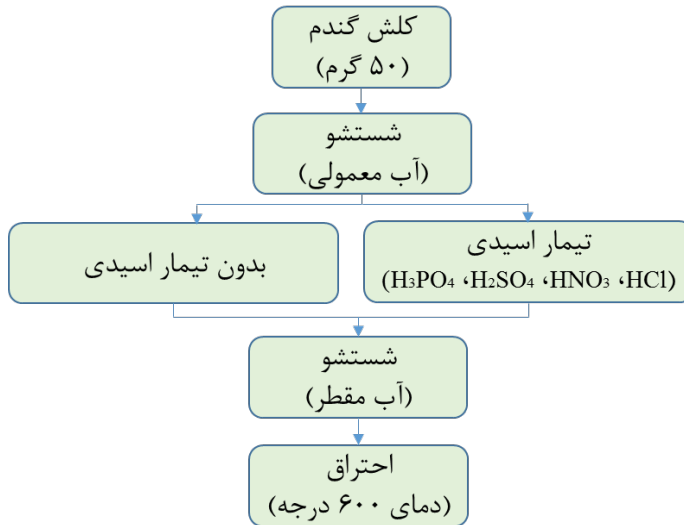


روش احتراق در کوره الکتریکی مورد بررسی قرار گرفت. سیلیس در مقایسه با مواد با پوشش آلی در شرایط اسیدی پایدار بوده و بنابراین در برابر واکنش‌های اکسایشی نیز مقاوم می‌باشد. از این رو به عنوان یک ماده پوششی مناسب برای حفاظت از سایر مواد عمل می‌کند. از طرف دیگر، نانوذرات مغناطیسی پوشش داده با سیلیس اخیراً به دلیل کارایی بالا در محیط زیست مورد توجه ویژه قرار گرفته‌اند. علاوه بر این سطح سیلیس با مقدار زیادی هیدروکسیل پوشانده شده است. برخی از این هیدروکسیل‌ها در سطح سیلیس، یون  $H^+$  را در محلول آبی آزاد کرده و در نتیجه سطح سیلیس دارای مقداری بار منفی شده و این امر باعث سهولت عملکرد نانوذرات مغناطیسی پوشش داده شده با سیلیس می‌شود. همچنین، پوشش سیلیس می‌تواند از تجمع آگلومره شدن نانوذرات مغناطیسی جلوگیری کرده و پراکنده‌گی آن‌ها در محلول‌های آبی را بهبود بخشد [۱۲ و ۱۱]. به این دلایل، سیلیس استخراج شده از پسماند کشاورزی کلش گندم در سنتز بیونانوکامپوزیت مغناطیسی  $Fe_3O_4@SiO_4@CS$  مورد استفاده قرار گرفت. همچنین، با استناد به ماده ۵ آیین نامه جلوگیری از آلودگی آب‌ها، استاندارد خروجی پس‌آب‌ها برای آلاینده‌های رنگی جهت تخلیه به آب‌های سطحی، تخلیه به چاه جاذب و مصارف کشاورزی و آبیاری  $mg\ L^{-1}$  ۷۵ می‌باشد. درصد ترکیبات تشکیل دهنده، وضعیت کریستالیزاسیون، شناسایی گروه‌های عاملی و مورفولوژی سطحی مواد تولید شده با استفاده از آنالیزهای ساختاری (X-ray fluorescence)، طیف سنجی فلورسانس پرتو ایکس (X-ray diffraction)، طیف سنجی پراش پوتو ایکس (Fourier transform infrared)، سنجی عبوری مادون قرمز فوریر (Vibrating spectroscopy)، مغناطیس سنجی نمونه مرتعش (sample magnetometer)، تصاویر میکروسکوپ الکترونی روبشی (Scanning electron microscopy)، نیتروژن و پتانسیل زتا مورد بررسی و تجزیه و تحلیل قرار گرفتند. در نهایت، از بیونانوکامپوزیت سنتز شده به عنوان یک جاذب کارآمد و مؤثر جهت حذف رنگ بازیک قرمز ۴۶ از محلول‌های آبی استفاده شد و اثر پارامترهای pH محلول و غلظت آلاینده مورد بررسی و تجزیه و تحلیل قرار گرفتند.

غنى از سیلیس بى شكل هستند که آن را به صورت هیدراته ( $SiO_4.nH_2O$ ) در بافت‌های خود تجمع می‌دهند [۵]. گونه‌های گیاهی که مقادیر بسیار زیادی سیلیس در اندام‌های هوایی خود تجمع می‌دهند، اصطلاحاً گیاهان جمع کننده سیلیس<sup>۱</sup> یا سوپر جاذب‌های سیلیس نامیده می‌شوند. در این گیاهان سیلیس تجمع یافته در محدوده ۵ تا ۳۰٪ وزن خشک گیاه می‌باشد [۶]. در این زمینه مطالعات زیادی در رابطه با نحوه توزیع، ته نشت، فیزیولوژی و استخراج سیلیس در گیاهانی همچون برنج، گندم، جو و بامبو صورت گرفته است [۸ و ۷]. از طرف دیگر این گیاهان به مقدار بسیار زیادی به صورت پسماند در بخش کشاورزی تولید می‌شوند. بر اساس آمار سازمان جهانی FAO، در کشورهای در حال توسعه حدود ۴۰٪ از محصولات بخش کشاورزی به پسماند تبدیل می‌شوند. با توجه به اینکه محصول گندم یک محصول مهم بوده و بیشترین تولید را در جهان و به خصوص در ایران به خود اختصاص می‌دهد، بنابراین بیشترین پسماند تولید شده نیز مربوط به این محصول می‌باشد. سالانه حدود ۵۴ میلیون تن پسماند کشاورزی کلش گندم<sup>۲</sup> در سراسر جهان تولید می‌شود [۹]. کلش گندم اغلب اوقات پس از برداشت محصول گندم در مزارع سوزانده می‌شود. سوزاندن کلش گندم در مزارع منجر به کاهش موادآلی خاک شده و در بلند مدت حاصل خیزی خاک را به شدت کاهش می‌دهد. به علاوه موجب از بین رفتن میکروآگانیسم‌های موجود در خاک شده و روند طبیعی اکوسیستم‌های کشاورزی را مختل می‌نماید. در کنار تمامی این مضرات، محیط زیست را نیز تحت تاثیر قرار داده و موجب آلودگی هوا و آب‌های سطحی و زیرزمینی نیز می‌گردد [۱۰]. بنابراین، کلش گندم یکی از پسماندهای عمدۀ کشاورزی است که در سراسر دنیا به فراوانی یافت می‌شود. کلش گندم دارای سطوح بالایی از سیلیس بی شکل می‌باشد. لذا این پسماند می‌تواند منبع اولیه در دسترس و ارزان قیمت برای تولید سیلیس بی شکل جهت مصارف تکنولوژیکی و صنعتی باشد. در مطالعه حاضر، کلش گندم به عنوان یک پسماند کشاورزی کم ارزش جهت تولید سیلیس بی شکل انتخاب گردید. این پسماند جهت استخراج سیلیس بی شکل با استفاده از روش‌های مختلف بدون آماده سازی و آماده سازی با استفاده از اسید‌های مختلف (HCl، H<sub>2</sub>SO<sub>4</sub>، HNO<sub>3</sub> و شو و به

1 Silica accumulator plants

2 Wheat Straw



شکل ۱. فلودیاگرام فرآیند بهینه سازی استخراج سیلیس از پسماند کشاورزی گلش گندم

Fig. 1. Flow diagram of optimization process of silica extraction from wheat straw agricultural waste

## ۲- مواد و روش ها

### ۱-۱- مواد شیمیایی مورد استفاده

در این روش ابتدا مقدار ۵۰ g گلش گندم وزن شد. سپس چند مرتبه با آب معمولی و یک مرتبه با آب مقطر شست و شو داده شد. در نهایت، در کوره الکتریکی با دمای ۶۰۰ °C به مدت ۶ h با شیب ۱۰ °C min⁻¹ احتراق داده شد و مقدار خاکستر باقیمانده وزن گردید.

### ۱-۲- روش شستشوی اسیدی

در این روش ابتدا مقدار ۵۰ g گلش گندم وزن شد. سپس چند مرتبه با آب معمولی و یک مرتبه با آب مقطر شست و شو داده شد. در ادامه، در محلول های اسیدی N ۱ (اسید هیدرو کلریک، اسید نیتریک، اسید سولفوریک و اسید فسفریک) در دمای ۱۰۰ °C به مدت ۱ h شست و شو داده شد (۲۰ ml محلول اسیدی به ازای هر گرم گلش گندم). در ادامه چند مرتبه با آب معمولی شست و شو داده شد تا pH آن خنثی گردید و در نهایت یک مرتبه با آب مقطر شست و شو داده شد. سپس به مدت ۲۴ h در دمای محیط قرار داده شد تا رطوبت آن کاهش یافت. در ادامه به مدت ۱۲ h یک شب در دمای ۷۰ °C در آون خشک گردید. در نهایت، در کوره الکتریکی با

گلش گندم مورد استفاده در این مطالعه از مزارع گندم استان گیلان، شهرستان رشت تهیه شد. همچنین، تمامی مواد شیمیایی مورد استفاده در آزمایش ها شامل اسید هیدور کلریک ۳۷٪ (HCl)، اسید نیتریک ۶۵٪ (HNO<sub>۳</sub>)، اسید فسفریک ۸۵٪ (H<sub>۳</sub>PO<sub>۴</sub>)، اسید سولفوریک ۹۸٪ (H<sub>۲</sub>SO<sub>۴</sub>)، سدیم هیدروکساید ۹۹٪ (NaOH)، کلرید آهن شش آبه (FeCl<sub>۳</sub>/۶H<sub>۲</sub>O)، کلرید آهن چهار آبه (FeCl<sub>۳</sub>/۴H<sub>۲</sub>O)، آمونیوم هیدروکساید ۲۵٪ (NH<sub>۴</sub>OH)، اسید استیک (CH<sub>۳</sub>COOH)، گلوتارآلدئید ۲۵٪ (C<sub>۳</sub>H<sub>۵</sub>O<sub>۲</sub>)، اتانول (Merck) (C<sub>۲</sub>H<sub>۵</sub>OH) و کیتوسان (C<sub>۶</sub>H<sub>۱۱</sub>NO<sub>۴</sub>) از شرکت مرک (Merck) آلمان خریداری شدند. تمامی آزمایش ها با استفاده از آب مقطر تهیه شده با دستگاه آب مقطر گیری مدل Raymand انجام گردیدند.

### ۲-۲- بهینه سازی استخراج سیلیس از گلش گندم

بهینه سازی استخراج سیلیس از گلش گندم به روش های مختلف احتراق<sup>۱</sup> و شستشوی اسیدی<sup>۲</sup> به صورت زیر انجام شد [۳]:

۱ Combustion

۲ Acid treatment

به روش پیوندزنی<sup>۱</sup> پس از تهیه نمونه با محلول n-هگزان به عنوان حلال طی فرآیند رفلاکس به صورت زیر انجام شد [۳]. به این منظور ابتدا ماده  $\text{Fe}_3\text{O}_4@\text{SiO}_2$  سنتز شده در مرحله قبل به مدت ۶ h در دمای ۱۰۰ °C در آون خلاً خشک شد تا رطوبت آن کاملاً گرفته شد. در ادامه ۳ g از ماده کیتوسان در ۳۰۰ mL محلول اسید استیک ۳٪ حل شد و سپس مقدار ۱ g از ماده  $\text{Fe}_3\text{O}_4@\text{SiO}_2$  به آن اضافه گردید. سپس ۲ mL از محلول گلوتارآلدئید به آن اضافه شده و به مدت ۲ h در دمای ۶۰ °C رفلاکس شد. ماده جامد به دست آمده با استفاده از اسید استیک، اتانول و آب مقطر شست و شو داده شد  $\text{Fe}_3\text{O}_4@\text{SiO}_2@CS$  سنتز شده به مدت ۱۲ h در دمای ۵۰ °C خشک شده و مورد استفاده قرار گرفت [۱۴ و ۱۵].

#### ۵-تجهیزات مورد استفاده

به منظور تعیین درصد ترکیبات تشکیل دهنده سیلیس استخراج شده از کلش گندم از روش فلورسانس پرتوایکس (XRF) گرفته شده با دستگاه مدل Philips PW1480 استفاده گردید. همچنین، جهت بررسی وضعیت کریستالیزاسیون سیلیس استخراج شده و بررسی ساختار نانوکامپوزیت سنتز شده از روش پراش پرتوایکس (XRD) گرفته شده با دستگاه مدل Philips X'pert استفاده شد. الگوی XRD با استفاده از تابش با طول موج ۱/۰ A<sub>54۰</sub> در ۴۰ kV و با شدت ۳۰ mA به دست آمد که جهت تهیه الگوی وضعیت کریستالیزاسیون سیلیس استخراج شده و نانوکامپوزیت سنتز شده، زاویه پراش در مقیاس ۰/۲ از ۱ تا ۷۰ ° اسکن گردید. علاوه بر این، آنالیز طیف سنج عبوری مادون قرمز فوریر (FT-IR) با استفاده از دستگاه مدل ۲۲ BRUKER VECTOR در دامنه ۴۰۰ تا ۴۰ cm<sup>-۱</sup> با به کار بردن روش قرص KBr انجام گردید. ویژگی های سطحی ساختار سیلیس استخراج شده و نانو کامپوزیت سنتز شده و ترکیب عنصری نانو کامپوزیت سنتز شده، با استفاده از تصاویر میکروسکوپ الکترونی روبشی (SEM) تهیه شده با دستگاه مدل TESCAN MIRA<sup>۳</sup> مورد بررسی قرار گرفتند. جهت بررسی خواص مغناطیسی نانو مواد سنتز شده از آنالیز VSM گرفته شده با دستگاه مدل Daneshpajouh MDKB در گستره مغناطیسی

دماه ۶۰۰ °C با شیب دمایی ملایم (۱ °C min<sup>-۱</sup>) احتراق داده شد و پس از سرد شدن مقدار خاکستر باقیمانده وزن گردید. فرآیند بهینه سازی استخراج سیلیس از پیماند کشاورزی کلش گندم به صورت شماتیکی در شکل ۱ نشان داده شده است.

#### ۳-۲- سنتز نانوکامپوزیت مغناطیسی $\text{Fe}_3\text{O}_4@\text{SiO}_2$

نانو ذرات مغناطیسی اکسید آهن ( $\text{Fe}_3\text{O}_4$ ) به روش همروسوی شیمیایی سنتز شدند [۱۳]. به این منظور، ۴/۱ g کلرید آهن (III) و ۴ g کلرید آهن (II) تحت اتمسفر گاز نیتروژن در ۲۰۰ mL آب مقطر اکسیژن زدایی شده به روش مکانیکی حل شده و سپس به مدت ۱ h در دمای ۵۰ °C سونیکیت شدند. در ادامه ۱۲۰ mL محلول ۰/۲۵ NH<sub>۴</sub>OH تحت اتمسفر گاز نیتروژن و اختلاط مکانیکی شدید ۳۰ min به صورت قطره قطره به محلول بالا افزوده شد و به مدت ۸ رسانید. نانو ذرات مغناطیسی به دست آمده با استفاده از یک آهنربای خارجی جدا سازی شده و سه مرتبه با ۵۰ mL آب مقطر شست و شو داده شدند. در نهایت نانو ذرات آهن سنتز شده در دمای ۲۴ h به مدت ۲۴ در آون خشک شدند. در ادامه، ابتدا در ظرف (a) مقدار ۴۰۰ mL آب مقطر در یک بالن حجمی ۵۰۰ mL با استفاده از گاز نیتروژن به مدت ۵ دقیقه تحت اتمسفر گاز نیتروژن به محلول بالا افزوده شد و در دمای ۴/۱ °C به مدت ۱ ساعت سونیکیت شد. سپس در ظرف (b) مقدار ۲ g پودر  $\text{Fe}_3\text{O}_4$  به دست آمده اکسیژن زدایی شد. سپس، مقدار ۲ g پودر سیلیس استخراج شده از کلش گندم و ۲ g NaOH در ۴۰ mL پودر سیلیس استخراج شده از کلش گندم و در دمای ۲۴ h به مدت ۰/۸ °C حل شده. محلول ظرف (b) تحت اختلاط مکانیکی شدید به صورت قطره قطره به محلول ظرف (a) اضافه شد. محلول حاصل با استفاده از HCl در ۶ تنظیم شده و در دمای ۰/۸ °C به مدت ۵ ساعت رفلاکس گردید. رسوب به دست آمده با استفاده از آهنربای خارجی جداسازی و سه مرتبه با آب مقطر شست و شو داده شد. سپس در دمای ۷۰ °C به مدت ۲۴ h خشک شد.

#### ۴-۲- فرآیند عامل دار کردن نانوکامپوزیت مغناطیسی $\text{Fe}_3\text{O}_4@\text{SiO}_2$

عامل دار کردن ماده  $\text{Fe}_3\text{O}_4@\text{SiO}_2$  با استفاده از ماده کیتوسان جهت استفاده از گروه عاملی آمین (NH<sub>۲</sub>) موجود بر روی سطح آن

$$q_e (mg g^{-1}) = \frac{(C_i - C_t)V}{W} \quad (2)$$

که در آن  $q_e$  ظرفیت جذب رنگ بازیک قرمز ۴۶ توسط جاذب  $C_e (mg g^{-1})$ ، غلظت اولیه رنگ بازیک قرمز ۴۶ ( $mg L^{-1}$ )،  $V$  حجم محلول غلظت تعادلی رنگ بازیک قرمز ۴۶ ( $mg L^{-1}$ ) و  $W$  وزن جاذب (g) می باشد.

### ۳- نتایج و بحث

#### ۳-۱- تعیین خصوصیات ساختاری مواد تولید شده

##### ۳-۱-۱- آنالیز فلورسانس پرتو ایکس (XRF)

جدول ۱ نتایج آنالیز XRF مربوط به نمونه های خاکستر به جای مانده کلش گندم با روش های مختلف آماده سازی را نشان می دهد. همان گونه که ملاحظه می شود یکی از اثرات شست و شوی اسیدی حذف ناخالصی های فلزی و به خصوص اکسیدهای  $CaO$ ،  $K_2O$  و  $P_2O_5$  است. همچنین، درصد خلوص سیلیس که یک پارامتر بسیار مهم می باشد در نمونه های آماده سازی شده دارای تفاوت چشمگیری با نمونه آماده سازی نشده است. در این بین، نمونه آماده سازی شده با  $HNO_3$  دارای بیشترین خلوص سیلیس یعنی ۹۶/۵۲٪ می باشد. از طرف دیگر، پارامتر  $LOI^1$  که نشان دهنده مقدار مواد آلی نسخته و باقی مانده در سیلیس به دست آمده است، در نمونه آماده سازی شده با اسید نیتریک دارای کمترین مقدار است. بنابراین، در این مطالعه از روش آماده سازی با استفاده از  $HNO_3$  به عنوان روش بهینه جهت استخراج سیلیس از پسماند کشاورزی کلش گندم استفاده گردید. در مجموع، دلیل تفاوت در پاسخ های جدول ۱ به روش های مختلف آماده سازی نمونه و اثرات اسیدهای مختلف بر ماتریس کلش گندم مربوط می باشد.

#### ۲-۱-۳- بازده

شکل ۲ میزان بازدهی سیلیس استخراج شده از پسماند کشاورزی کلش گندم با استفاده از روش های مختلف آماده سازی را نشان می دهد. همان طور که در این نمودار مشاهده می شود، بیشترین میزان خاکستر به جای مانده پس از احتراق، مربوط به کلش گندم

استفاده شد. اندازه گیری ایزوترم های جذب و  $BEL BELsorp- mini II$  انجام شد. محاسبه مساحت سطح ویژه با استفاده از روش BET و محاسبه توزیع اندازه حفرات با استفاده از روش BJH انجام شدند. آنالیز پتانسیل زتا در pH های مختلف ۲ تا ۸ با استفاده از دستگاه مدل Malvern ZEN<sup>۳۶۰۰</sup> انجام شد.

#### ۶- آزمایش های جذب در سیستم ناپیوسته

به منظور انجام آزمایش های جذب در سیستم ناپیوسته، ابتدا یک محلول استاندارد با غلظت  $1000 mg L^{-1}$  رنگ بازیک قرمز ۴۶ در آب مقطر تهیه شد. pH اولیه محلول ها با استفاده از محلول های  $BEL pH 0/1 M NaOH$  و  $HCl 0/1 M$  با استفاده از دستگاه pH متر مدل  $W^{3B}$  تنظیم شد. آزمایش های جذب با اضافه کردن مقدار از پیش تعیین شده جاذب  $(Fe_3O_4 @ SiO_2 @ CS 0/0.5 g L^{-1})$  به یک ارلن مایر  $250 mL$  محتوی  $100 mg L^{-1}$  (۴۶-۸۰) با pH های از پیش تعیین شده رنگ بازیک قرمز ۴۶ (۴۰-۸۰) انجام شد. این محدوده ها با استفاده از پیش آزمایش های انجام شده و مقادیر گزارش شده در مقالات انتخاب شدند. سپس، محلول ها با سرعت  $300 rpm$  به مدت  $120 min$  اختلاط یافتهند. در ادامه، محلول ها با استفاده از یک آهنربای خارجی فیلتر شده و مقادیر غلظت رنگ باقی مانده در محلول با استفاده از دستگاه اسپکتروفوتومتر مدل UVCON XS در طول موج ( $\lambda_{max}$ )  $530 nm$  آنالیز شدند. تمامی آزمایش ها سه بار تکرار شده و مقادیر میانگین گزارش شدند. کارایی حذف ((R٪)) رنگ بازیک قرمز ۴۶ با استفاده از معادله (۱) به دست آمد [۲]:

$$R (\%) = \frac{C_i - C_t}{C_i} \times 100 \quad (1)$$

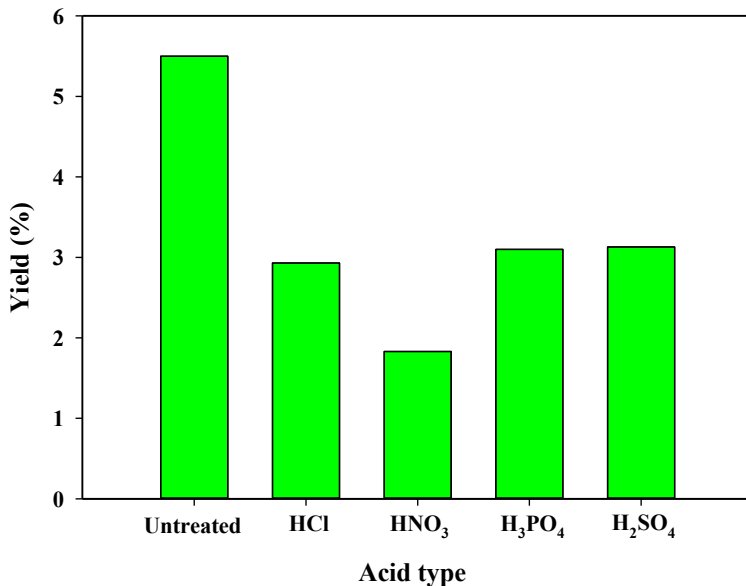
که در آن  $R$  کارایی حذف رنگ بازیک قرمز ۴۶ (٪)،  $C_i$  غلظت اولیه رنگ بازیک قرمز ( $mg L^{-1}$ ) و  $C_t$  غلظت رنگ بازیک قرمز ( $mg L^{-1}$ ) در زمان  $t$  (min) می باشد. همچنین، ظرفیت جذب رنگ بازیک قرمز ( $q_e mg g^{-1}$ ) با استفاده از معادله (۲) به دست آمد [۳]:

<sup>1</sup> Loss on Ignition  
<sup>2</sup> Yield

### جدول ۱. نتایج آنالیز XRF سیلیس استخراج شده از کلش گندم با روش های مختلف آماده سازی

Table 1. XRF analysis results of silica extracted from wheat straw by different preparation methods

روش آماده سازی	$\text{SiO}_2$	$\text{K}_2\text{O}$	$\text{CaO}$	$\text{P}_2\text{O}_5$	ترکیبات موجود در خاکستر (%)	LOI
بدون آماده سازی	۶۶/۰۳	۱/۸۲	۱۱/۰۴	۲/۷۲	۰/۶۹	
آماده سازی با $\text{HCl}$	۸۸/۶۱	۱/۲۶	۳/۴۹	۰/۸۶	۱/۱۰	
آماده سازی با $\text{HNO}_3$	۹۶/۵۲	۰/۳۰	۰/۹۲	۰/۲۴	۰/۵۹	
آماده سازی با $\text{H}_2\text{SO}_4$	۹۱/۰۸	۰/۶۹	۱/۳۳	۲/۰۴	۱/۶۶	
آماده سازی با $\text{H}_3\text{PO}_4$	۹۳/۸۳	۰/۲۱	۰/۷۳	۰/۹۸	۲/۷۹	



شکل ۲. بازده استخراج سیلیس بر حسب روش های مختلف آماده سازی

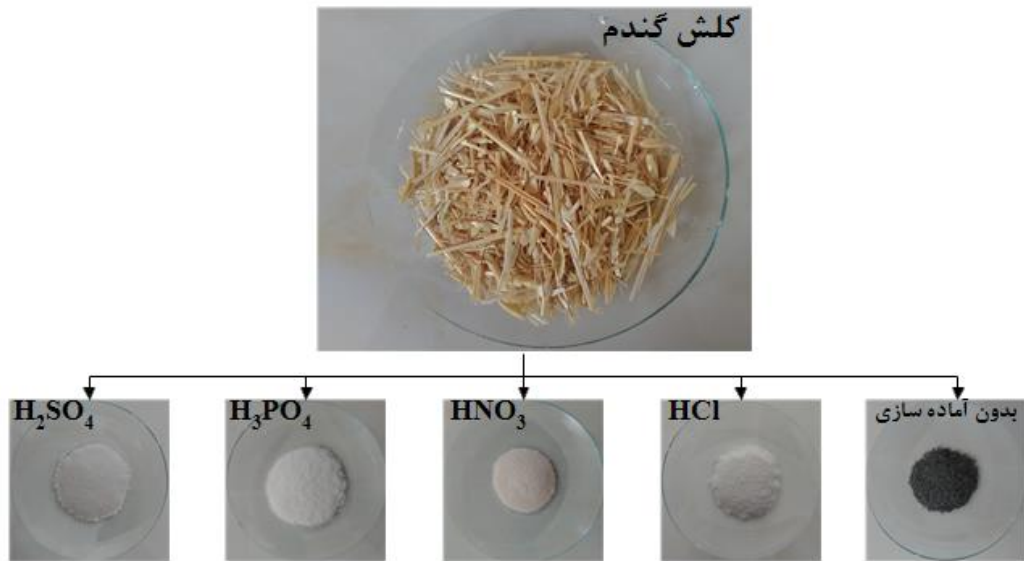
Fig. 2. Silica extraction yield according to different preparation methods

در توافق کامل با نتایج حاصل از آنالیز XRF می باشد، به صورتی که کمترین درصد خلوص سیلیس مربوط به نمونه آماده سازی نشده و بیشترین درصد خلوص سیلیس مربوط به نمونه آماده سازی شده با استفاده از  $\text{HNO}_3$  می باشد.

### ۳-۱-۳- شکل ظاهری سیلیس استخراج شده

در شکل ۳ شکل ظاهری مربوط به کلش گندم، نمونه بدون آماده سازی و نمونه های آماده سازی شده با اسید های مختلف نشان داده شده است. به دلیل عدم آماده سازی کلش گندم مواد کربنی موجود

بدون آماده سازی می باشد. این امر می تواند به این دلیل باشد که در روش آماده سازی نشده ناخالصی ها و مواد کربنی به طور کامل نسوخته و از ماتریس نمونه خارج نشده اند. بنابراین میزان خاکستر بیشتری از آن به جای مانده است. همچنین، کمترین خاکستر به جای مانده پس از احتراق نمونه مربوط به کلش گندم آماده سازی شده با استفاده از  $\text{HNO}_3$  می باشد. در این رابطه می توان گفت،  $\text{HNO}_3$  بیشترین اثر را بر ماتریس نمونه داشته و بیشترین میزان ناخالصی را از نمونه حذف کرده است. از این رو، پس از احتراق نمونه میزان خاکستر کمتری به جای مانده است. نتایج حاصل از این بررسی



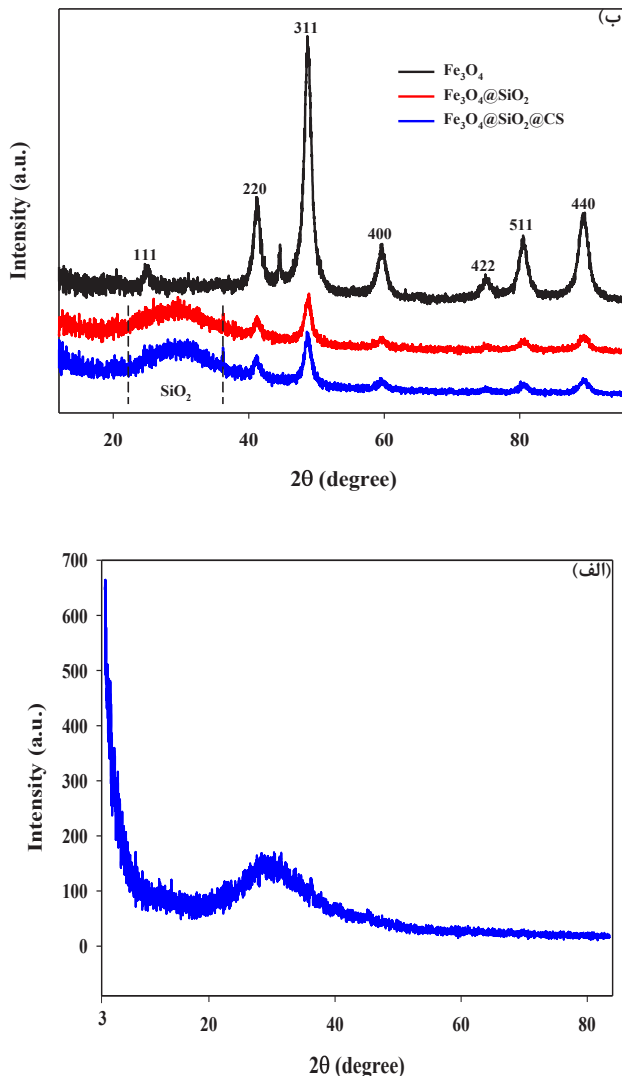
شکل ۳. تصاویر مربوط به کلش گندم و سیلیس استخراج شده از آن با استفاده از اسیدهای مختلف  
Fig. 3. Images of wheat straw and silica extracted from it using various acids

بوده و می تواند به عنوان ماده اولیه موثر و کارآمد جهت تولید مواد بر پایه سیلیس مورد استفاده قرار گیرد. همچنین نتایج به دست آمده در این بخش در توافق با نتایج به دست آمده از تحقیقات پیشین می باشد [۱۶]. در شکل ۴-ب نمودار مربوط به الگوی پراش پرتو ایکس (XRD) نمونه های  $\text{Fe}_3\text{O}_4$  و  $\text{Fe}_3\text{O}_4@\text{SiO}_4$  مشاهده می شود. در طیف XRD نانوذرات  $\text{Fe}_3\text{O}_4@\text{CS}$  مشاهده می شود. در محدوده زوایای ۲۵، ۴۰، ۵۰، ۶۰، ۷۸ و ۹۰ پیک مشخص در محدوده زوایای ۲۵، ۴۰، ۵۰، ۶۰، ۷۸ و ۹۰ در مقیاس ۰۲ ملاحظه می گردد که مربوط به صفحات ۱۱۱، ۲۲۰، ۳۱۱، ۴۰۰، ۴۲۲، ۵۱۱ و ۴۴۰ می باشند که تایید کننده ساختار کریستالی مکعبی اسپینلی  $\text{Fe}_3\text{O}_4$  می باشد. همان طور که در دیده می شود، شدت پیک ها در نمودارهای مربوط به نمونه های  $\text{Fe}_3\text{O}_4@\text{CS}$  و  $\text{SiO}_4$  کاهش یافته است که به ترتیب نشان دهنده پوشیده شدن سطح آن ها با لایه ای از سیلیس بی شکل و گروه عاملی کیتوسان می باشد [۱۷]. پیک گسترده موجود در محدوده زوایای ۴۰ در مقیاس ۰۲ به وجود لایه سیلیس بی شکل در اطراف  $\text{Fe}_3\text{O}_4$  به عنوان پوسته و تشکیل نانوکامپوزیت مغناطیسی  $\text{Fe}_3\text{O}_4@\text{SiO}_4$  اشاره دارد. همچنین، وجود پیک های مشابه در این نمودارها حاکی از پایدار ماندن و حفظ ساختار کریستالی  $\text{Fe}_3\text{O}_4$  بعد از قرار گرفتن پوشش سیلیس بر سطح آن می باشد [۱۸]. وجود

در آن به طور کامل نساخته و سیلیس تولید شده از آن به رنگ تیره دیده می شود و استفاده از روش آماده سازی اسیدی قبل از احتراق می تواند این مشکل را برطرف سازد و پس از آماده سازی اسیدی، سیلیس تولید شده کاملاً به رنگ سفید خواهد بود. همان گونه که مشاهده می شود، سیلیس استخراج شده با استفاده از اسید نیتریک نسبت به سایر روش ها دارای رنگ روشن تر می باشد که این امر نشان دهنده پایین بودن میزان ناخالصی و بالا بودن درصد خلوص آن می باشد.

#### ۴-۴-آنالیز پراش پرتو ایکس (XRD)

شکل ۴-الف نمودار آنالیز XRD مربوط به سیلیس استخراج شده از کلش گندم به روش شست و شوی اسیدی با استفاده از  $\text{HNO}_3$  را نشان می دهد. همان گونه که از نمودار مشخص است سیلیس استخراج شده دارای یک پیک پهن و تپه مانند در محدوده زوایای ۲۰ تا ۴۰ در مقیاس ۰۲ می باشد که اصلی ترین ویژگی سیلیس بی شکل است [۱۵]. بی شکل بودن یک پارامتر مهم و اثربخش در رابطه با سیلیس می باشد، زیرا سیلیس کریستاله غیرفعال بوده و قابلیت شرکت در واکنش های شیمیایی را نداشته و از کیفیت و کارایی آن کاسته می شود. بنابراین، سیلیس تولید شده در این مطالعه بی شکل



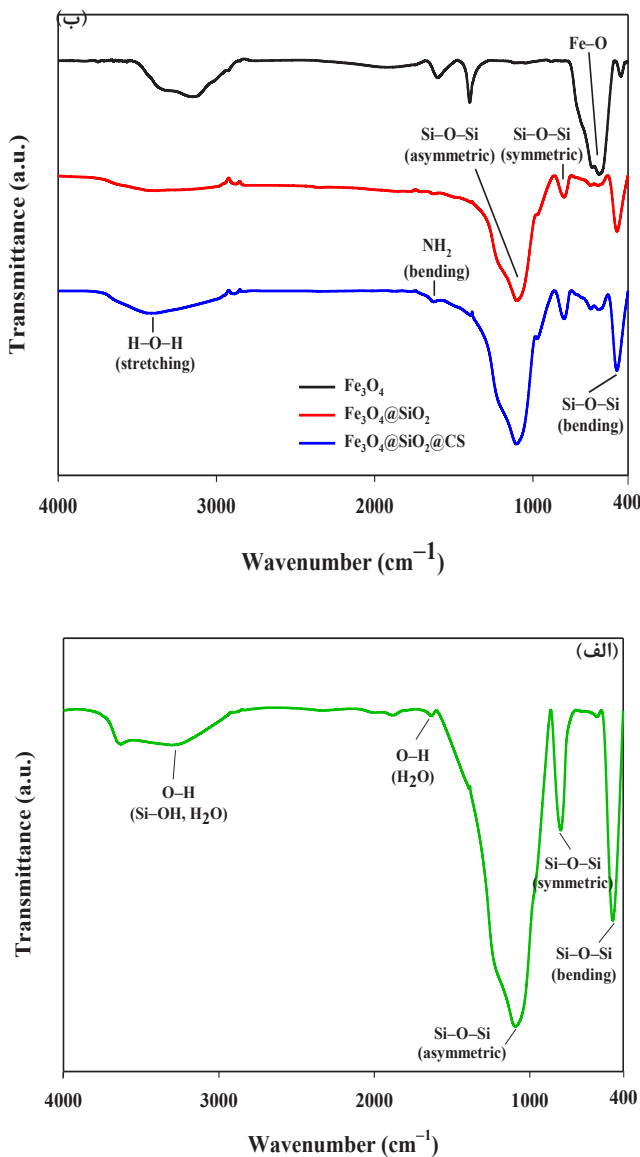
شکل ۴. (الف) نمودار آنالیز XRD سیلیس استخراج شده از کلش گندم و (ب) الگوی XRD نانوماد مغناطیسی  $\text{SiO}_2@\text{Fe}_3\text{O}_4$  و  $\text{Fe}_3\text{O}_4@\text{SiO}_2@\text{CS}$

Fig. 4. (a) XRD analysis graph of silica extracted from wheat straw and (b) XRD pattern of  $\text{Fe}_3\text{O}_4$ ,  $\text{Fe}_3\text{O}_4@\text{SiO}_2$  and  $\text{Fe}_3\text{O}_4@\text{SiO}_2@\text{CS}$  magnetic nanomaterials

مولکول های جذب شده آب روی سطح سیلیس می باشد [۱۶]. همچنین، باند ضعیف جذبی در محدوده طول موج  $1623 \text{ cm}^{-1}$  مربوط به ارتعاشات خمشی پیوند O-H موجود در مولکول های جذب شده آب می باشد [۲۰]. به علاوه، باندهای جذبی بلند و شاخص در محدوده طول موج  $1094 \text{ cm}^{-1}$  مربوط به کشش نامتقارن، در محدوده طول موج  $801 \text{ cm}^{-1}$  مربوط به کشش متقارن و در محدوده طول موج  $467 \text{ cm}^{-1}$  مربوط به ارتعاشات خمشی ساختار شبکه ای سیلوکسان (Si-O-Si) می باشند و این سه باند شاخصه اصلی سیلیس می باشند [۲۱]. در شکل ۵-ب الگوی

یک پراش اوجی جدید در الگوی  $\text{Fe}_3\text{O}_4@\text{SiO}_2@\text{CS}$  در  $25^\circ$  نشان دهنده اتصال موفقیت آمیز کیتوسان بر سطح  $\text{Fe}_3\text{O}_4@\text{SiO}_2$  و تشکیل بیونانو کامپوزیت  $\text{Fe}_3\text{O}_4@\text{SiO}_2@\text{CS}$  می باشد [۱۹].

**۳-۱-۵- طیف‌سنجی تبدیل فوریه مادون قرمز (FTIR)** الگوی FT-IR مربوط به سیلیس استخراج شده از کلش گندم در شکل ۵-الف نشان داده شده است. در این نمودار باند پهن جذب در محدوده طول موج  $3307 \text{ cm}^{-1}$  مربوط به ارتعاشات کششی گروه هیدروکسیل (O-H) و سیلانول (Si-OH) در سیلیس و



شکل ۵. (الف) نمودار آنالیز FT-IR سیلیس استخراج شده از کلش گندم و (ب) طیف FT-IR نانو ذرات مغناطیسی SiO<sub>2</sub>@Fe<sup>3+</sup>O<sup>4-</sup>، Fe<sup>3+</sup>O<sup>4-</sup> و .CS@SiO<sub>2</sub>@Fe<sup>3+</sup>O<sup>4-</sup>

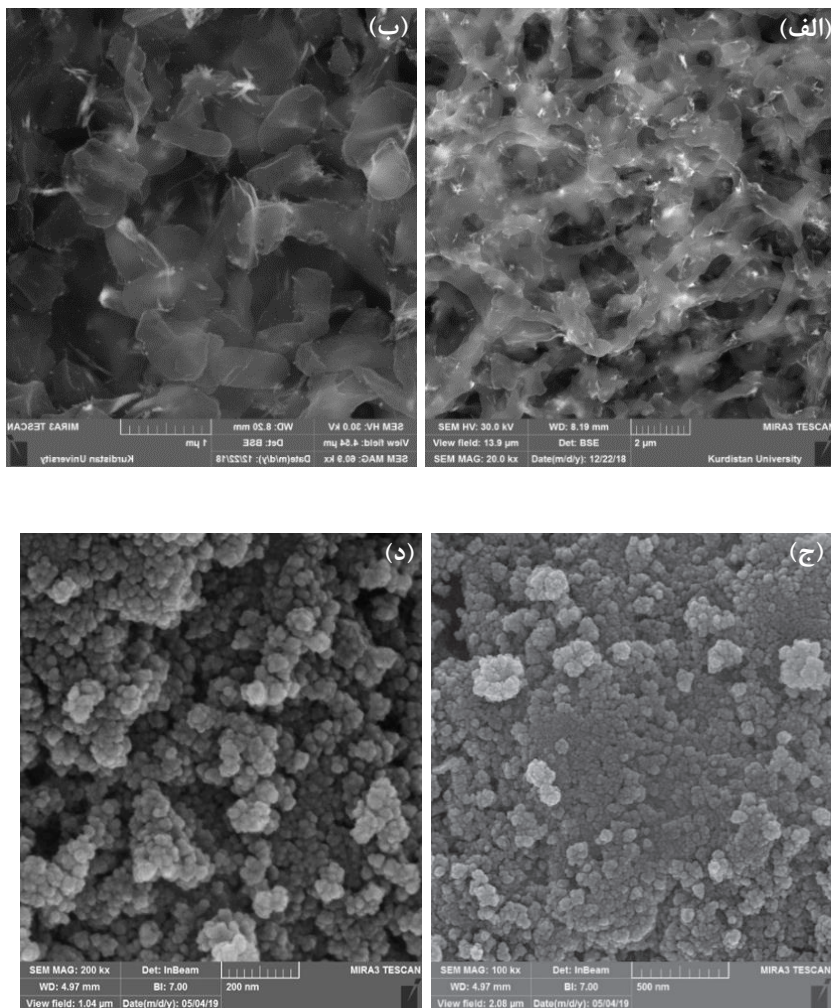
**Fig. 5. (a) FT-IR analysis graph of silica extracted from wheat straw and (b) FT-IR spectra of Fe<sub>3</sub>O<sub>4</sub>, Fe<sub>3</sub>O<sub>4</sub>@SiO<sub>2</sub> and Fe<sub>3</sub>O<sub>4</sub>@SiO<sub>2</sub>@CS magnetic nanoparticles**

و خمی و جذب فیزیکی مولکول‌های آب اشاره دارد. نوار جذبی ضعیفی که در ناحیه ۱۸۵۰ cm<sup>-1</sup> مشاهده می‌شود حاکی از اتصال و قرارگیری گروه عاملی بر سطح بیونانوکامپوزیت Fe<sub>3</sub>O<sub>4</sub>@SiO<sub>2</sub>@CS می‌باشد. با توجه به طیف‌های به دست آمده از ساختار نانومواد سنتز شده می‌توان به استقرار مناسب لایه‌ها و گروه عاملی اشاره کرد.

### ۳-۶- آنالیز میکروسکوپ الکترونی روبشی (SEM)

شکل ۶-الف و ب تصاویر مربوط به آنالیز SEM سیلیس استخراج شده از کلش گندم را نشان می‌دهند. همان گونه که در این تصاویر

نانومواد FT-IR CS نشان داده شده است. نوار جذبی ظاهر شده در نمودار مربوط به نانو ذرات Fe<sub>3</sub>O<sub>4</sub> در ناحیه ۶۰۰ cm<sup>-1</sup> مربوط به ارتعاشات کششی گروه Fe-O است که به خاصیت مغناطیسی Fe<sub>3</sub>O<sub>4</sub> مربوط می‌شود. در ناحیه ۸۵۰ cm<sup>-1</sup> و ۱۲۵۰ cm<sup>-1</sup> به ترتیب ارتعاشات کششی متقارن و نامتقارن Si-O-Si در لایه سیلیس مشاهده می‌شود و نشان می‌دهد که پوشش سیلیسی بر سطح نانوذرات Fe<sub>3</sub>O<sub>4</sub> قرار گرفته است [۲۲ و ۱۹]. نوار جذبی گستردگی در محدوده طول موج های ۳۰۷۵ cm<sup>-1</sup> و ۲۹۹۰ cm<sup>-1</sup> مشاهده می‌شود به ارتعاشات کششی



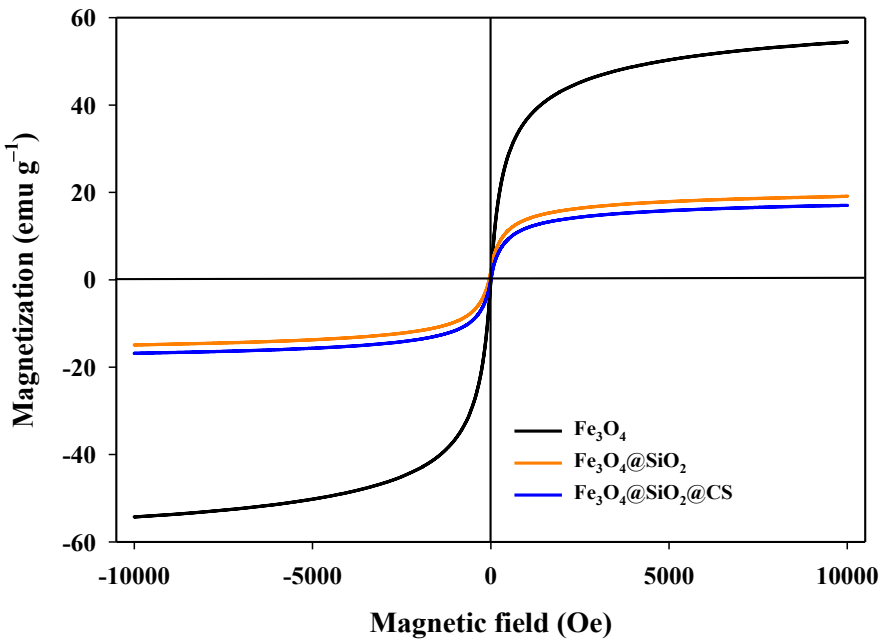
شکل ۶. (الف) و (ب) تصاویر SEM سیلیس استخراج شده از کلش گندم با دو بزرگنمایی ۲ و ۱ میکرومتر و (ج) و (د) تصاویر SEM نانوکامپوزیت SiO<sub>2</sub>@Fe<sub>3</sub>O<sub>4</sub> با دو بزرگنمایی ۵۰۰ و ۲۰۰ نانومتر

**Fig. 6. (a) and (b) SEM images of silica extracted from wheat straw with two magnifications of 2 µm and (c) and (d) SEM images of Fe<sub>3</sub>O<sub>4</sub>@SiO<sub>2</sub> nanocomposite with two magnifications of 500 and 200 nm**

عنصری نانوکامپوزیت Fe<sub>3</sub>O<sub>4</sub>@SiO<sub>2</sub> نیز به وسیله تکنیک SEM مورد بررسی قرار گرفت. همان طور که در شکل ۶-ج و د مشاهده می شود نانوکامپوزیت Fe<sub>3</sub>O<sub>4</sub>@SiO<sub>2</sub> کروی شکل بوده و ذرات آن دارای قطری معادل ۱۳ nm می باشند.

**۳-۱-۷- آنالیز مغناطیس سنجی نمونه مرتعش (VSM)**  
نتایج آنالیز VSM نانومواد Fe<sub>3</sub>O<sub>4</sub> و Fe<sub>3</sub>O<sub>4</sub>@SiO<sub>2</sub>, Fe<sub>3</sub>O<sub>4</sub>@SiO<sub>2</sub>@CS در شکل ۷ نشان داده شده اند. همان‌طور که در نمودار مربوط به نانوذرات Fe<sub>3</sub>O<sub>4</sub> مشاهده می شود، خاصیت مغناطیسی این نانوذرات در حدود ۵۵/۴۸ emu g<sup>-۱</sup> Oe را دارا می باشد. همچنین، شکل، اندازه، مورفولوژی سطح و ترکیب

مشاهده می شود، ساختار سطحی و ویژگی های مورفولوژی سیلیس استخراج شده به خوبی مشخص می باشد. بر اساس این تصاویر می توان گفت که ذرات سیلیس استخراج شده کروی نبوده و دارای ساختارهای نامنظم است. ساختار دیده شده در این تصاویر، فیبر مانند بوده و نشان از بی شکل بودن سیلیس استخراج شده می باشد. نتایج به دست آمده از این آنالیز به خوبی تایید کننده نتایج به دست آمده از آنالیز XRD می باشد. به طور کلی می توان گفت نتایج به دست آمده نشان می دهند سیلیس استخراج شده از کلش گندم بی شکل و فعال بوده و قابلیت استفاده در تولید مواد بر پایه سیلیس را دارا می باشد. همچنین، شکل، اندازه، مورفولوژی سطح و ترکیب



شکل ۷. منحنی های خاصیت مغناطیسی نانو ذرات  $\text{Fe}_3\text{O}_4$ ،  $\text{Fe}_3\text{O}_4@\text{SiO}_2$  و  $\text{Fe}_3\text{O}_4@\text{SiO}_2@\text{CS}$

Fig. 7. Magnetic properties curves of  $\text{Fe}_3\text{O}_4$ ,  $\text{Fe}_3\text{O}_4@\text{SiO}_2$  and  $\text{Fe}_3\text{O}_4@\text{SiO}_2@\text{CS}$  magnetic nanoparticles

#### ۸-۱-۳- آنالیز مساحت سطح ویژه (BET)

$\text{Fe}_3\text{O}_4@\text{Fe}_3\text{O}_4$  مساحت سطح ویژه نانو مواد سنتز شده  $\text{Fe}_3\text{O}_4$  با استفاده از آنالیز جذب و واجذب گاز نیتروژن ( $\text{N}_2$ ) تعیین شد که نتایج آن در جدول ۲ خلاصه شده است. نتایج به دست آمده نشان داد که مساحت سطح ویژه نانو ذرات  $\text{Fe}_3\text{O}_4$  پس از پوشش داده شدن با سیلیس استخراج شده از کلش گندم کاهش یافته است. همچنین، مساحت سطح ویژه نانوکامپوزیت  $\text{Fe}_3\text{O}_4@\text{SiO}_2$  از عامل دار شدن با گروه عاملی آمین ( $\text{NH}_2$ ) حاصل از کیتوسان کاهش یافته است. این کاهش در مقادیر تمامی خصوصیات بافتی مواد می تواند به دلیل حضور سیلیس و گروه عاملی در سطح و ممانعت از جذب مولکول های گاز نیتروژن باشد [۲۳].

#### ۹-۱-۳- آنالیز پتانسیل زتا (zeta potential)

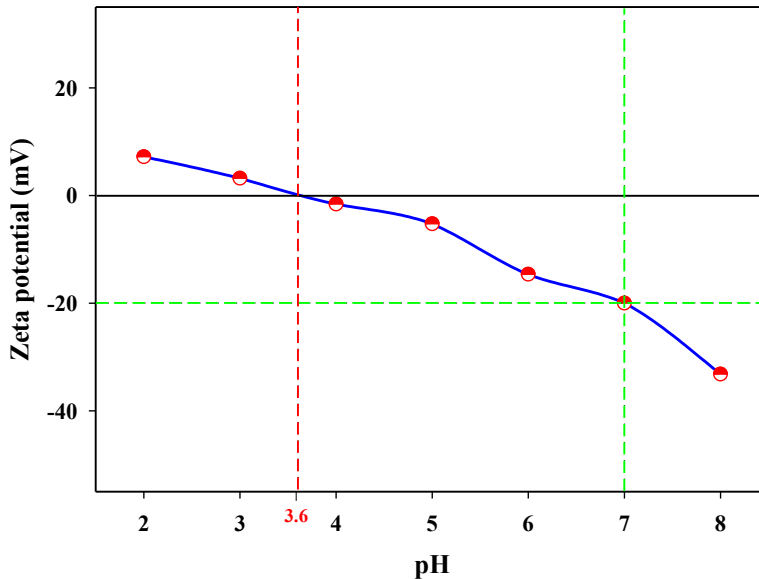
نتایج حاصل از آنالیز پتانسیل زتا بیونانوکامپوزیت  $\text{Fe}_3\text{O}_4@\text{SiO}_2@\text{CS}$  در pH های مختلف در شکل ۸ نشان داده شده است. بر اساس نتایج به دست آمده، مقادیر پتانسیل زتا بین ۳۱/۸ تا

۹۰۰۰ Oe می باشد که نشان دهنده خاصیت سوپر پارامغناطیسی نانوذرات  $\text{Fe}_3\text{O}_4$  بوده و همچنین نشان می دهد که نانوذرات  $\text{Fe}_3\text{O}_4$  جهت سنتز نانوکامپوزیت مغناطیسی  $\text{Fe}_3\text{O}_4@\text{SiO}_2$  مناسب هستند. با احاطه شدن نانو ذرات  $\text{Fe}_3\text{O}_4$  توسط پوسته سیلیسی، میزان خاصیت مغناطیسی  $\text{Fe}_3\text{O}_4@\text{SiO}_2$  در حدود  $19/60 \text{ emu g}^{-1}$  در  $9000 \text{ Oe}$  به دست آمد که این کاهش به دلیل قرارگیری پوسته غیرمغناطیسی سیلیس در اطراف نانو ذرات  $\text{Fe}_3\text{O}_4$  است. حلقه های هیسترسیس مغناطیسی نشان داد که مقدار اشباع مغناطیسی  $\text{Fe}_3\text{O}_4@\text{SiO}_2@\text{CS}$  در حدود  $17/55 \text{ emu g}^{-1}$  در  $9000 \text{ Oe}$  می باشد و این تفاوت کم در خاصیت مغناطیسی نشان داد که گروه عاملی قرار گرفته بر سطح نانوکامپوزیت  $\text{Fe}_3\text{O}_4@\text{SiO}_2$  تاثیر چندانی بر خاصیت مغناطیسی بیونانوکامپوزیت  $\text{Fe}_3\text{O}_4@\text{SiO}_2@\text{CS}$  نداشته است. از طرف دیگر، خاصیت مغناطیسی بالای بیونانوکامپوزیت  $\text{Fe}_3\text{O}_4@\text{SiO}_2@\text{CS}$  به این معنی است که می توان به راحتی آن را از محلول های آبی توسط یک آهنربای خارجی جداسازی و بازیابی کرد [۱۸ و ۲۲].

جدول ۲. خصوصیات بافتی نانو مواد تولید شده.

Table 2. Textural characteristics of produced nanomaterials

$V_{\text{total}} (\text{cm}^3 \text{ g}^{-1})$	$D_{\text{BJH}} (\text{nm})$	$S_{\text{BET}} (\text{m}^2 \text{ g}^{-1})$	نمونه
۰/۳۷	۱۳/۹۶	۸۸/۴۵	$\text{Fe}_3\text{O}_4$
۰/۳۳	۱۳/۴۸	۷۹/۸۶	$\text{Fe}_3\text{O}_4@\text{SiO}_2$
۰/۲۸	۱۳/۰۳	۷۱/۳۸	$\text{Fe}_3\text{O}_4@\text{SiO}_2@\text{CS}$



شکل ۸. آنالیز پتانسیل زتای  $\text{CS}@\text{SiO}_2@\text{Fe}_3\text{O}_4$  در pH های مختلف

Fig. 8. Zeta potential analysis of  $\text{Fe}_3\text{O}_4@\text{SiO}_2@\text{CS}$  at different pHs

شده  $\text{Fe}_3\text{O}_4@\text{SiO}_2@\text{CS}$  مقایسه شد. نتایج نشان داد که جاذب عامل دار شده  $\text{Fe}_3\text{O}_4@\text{SiO}_2@\text{CS}$  به نسبت ۱:۲ پتانسیل بالاتری برای حذف رنگ بازیک قرمز ۴۶ از محلول های آبی دارد. بنابراین، جاذب عامل دار شده  $\text{Fe}_3\text{O}_4@\text{SiO}_2@\text{CS}$  در تمام آزمایش های بعدی مورد استفاده قرار گرفت. حذف رنگ بازیک قرمز ۴۶ با استفاده از جاذب عامل دار شده  $\text{Fe}_3\text{O}_4@\text{SiO}_2@\text{CS}$  در مقایسه با جاذب عامل دار نشده  $\text{Fe}_3\text{O}_4@\text{SiO}_2$  در شرایط pH ۵ (بدون دست کاری pH محلول)، دوز جاذب  $0.05 \text{ g L}^{-1}$  و غلظت رنگ  $100 \text{ mg L}^{-1}$  انجام شد. نتایج مربوط به حذف رنگ بازیک قرمز ۴۶ در شکل ۹ نشان داده شده است. همان گونه که مشاهده می شود جاذب عامل دار شده  $\text{Fe}_3\text{O}_4@\text{SiO}_2@\text{CS}$  کارایی حذف و ظرفیت جذب بالاتری برای رنگ بازیک قرمز ۴۶ در

۸/۱ به دست آمدند و نقطه ایزوکتریک بیونانوکامپوزیت  $\text{Fe}_3\text{O}_4@\text{SiO}_2@\text{CS}$  در حدود  $3/6$  به دست آمد که نشان می دهد سطح  $\text{Fe}_3\text{O}_4@\text{SiO}_2@\text{CS}$  در مقادیر pH بالاتر از  $3/6$  به صورت منفی شارژ می شود که جهت جذب آلاینده های کاتیونی بسیار مطلوب می باشد [۲۴].

۲-۳- مطالعه اثر متغیرهای فرآیند بر حذف رنگ بازیک قرمز ۴۶

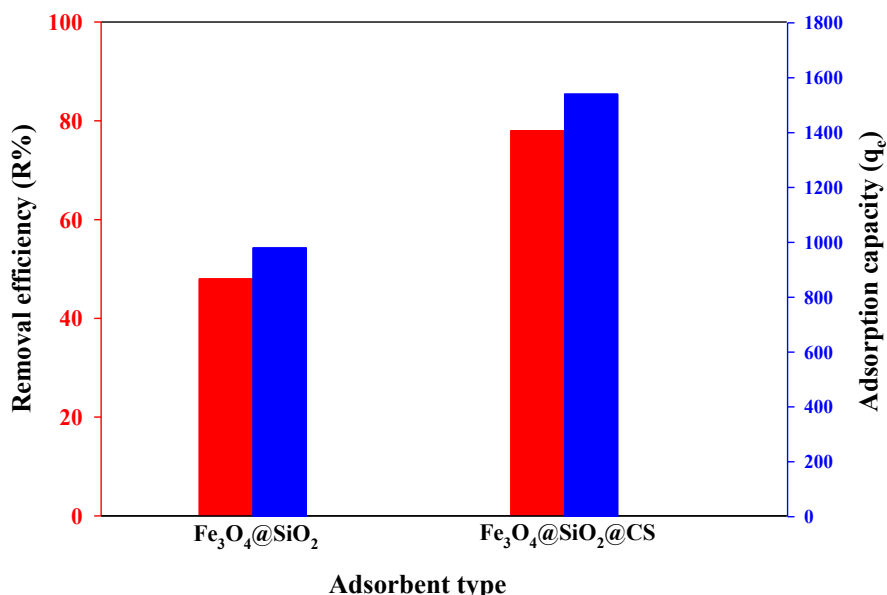
۳-۱- اثر عامل دار کردن جاذب بر کارایی حذف رنگ بازیک قرمز ۴۶

۴- اثر عنوان آزمایش های اولیه، کارایی حذف رنگ بازیک قرمز ۴۶ با استفاده از دو جاذب عامل دار نشده  $\text{Fe}_3\text{O}_4$  و عامل دار

### ۴-۲-۲-۳ اثر pH بر کارایی حذف رنگ بازیک قرمز ۴۶

به منظور بررسی اثر pH محلول بر میزان کارایی حذف رنگ بازیک قرمز ۴۶، رنج pH با در نظر گرفتن عدد پتانسیل زتا در محدوده ۵ تا ۷ در نظر گرفته شد. آزمایش های بررسی اثر pH با استفاده از محلول رنگی با غلظت  $100 \text{ mg L}^{-1}$  و دوز جاذب  $100 \text{ mg L}^{-1}$  انجام شد. نتایج بررسی اثر pH محلول بر میزان کارایی حذف و ظرفیت جذب رنگ بازیک قرمز ۴۶ در جدول ۳ آورده شده است. نتایج نشان داد که بیشترین میزان حذف رنگ در pH ۶ اتفاق

مقایسه با جاذب عامل نشده  $\text{Fe}_3\text{O}_4@\text{SiO}_2$  در شرایط یکسان دارد. کارایی حذف و ظرفیت جذب جاذب برای  $\text{Fe}_3\text{O}_4@\text{SiO}_2$  برای رنگ بازیک قرمز ۴۶ به ترتیب  $77/40 \text{ mg g}^{-1}$  و  $980/86 \text{ mg g}^{-1}$  بود، در حالی که کارایی حذف و ظرفیت جذب جاذب  $\text{Fe}_3\text{O}_4@\text{SiO}_2@CS$  به ترتیب  $77/47 \text{ mg g}^{-1}$  و  $1540/101 \text{ mg g}^{-1}$  بود. این افزایش در کارایی حذف و ظرفیت جذب را می توان به توزیع گروه های عاملی CS در سطح  $\text{Fe}_3\text{O}_4@\text{SiO}_2@CS$  نسبت داد که باعث افزایش سایت های اتصال فعال برای جذب موثر می شوند [۲۵].



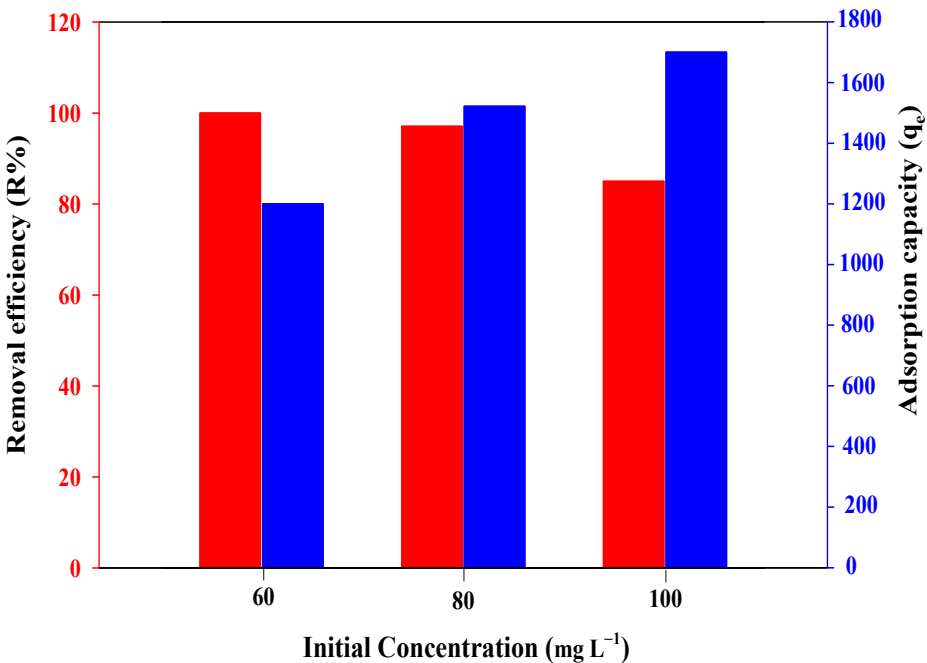
شکل ۹. مقایسه میزان حذف رنگ بازیک قرمز ۴۶ با استفاده از دو جاذب عامل نشده  $\text{SiO}_2@\text{Fe}_3\text{O}_4$  و عامل دار شده  $\text{CS}@\text{SiO}_2@\text{Fe}_3\text{O}_4$

Fig. 9. Comparison of Basic Red 46 dye removal amount using two unfunctionalized  $\text{Fe}_3\text{O}_4@\text{SiO}_2$  and functionalized  $\text{Fe}_3\text{O}_4@\text{SiO}_2@CS$  adsorbents

### جدول ۳. اثر pH بر میزان حذف رنگ بازیک قرمز ۴۶

Table 3. Effect of pH on removal amount of Basic Red 46 dye

pH	کارایی حذف (R)	ظرفیت جذب ( $q_e$ )
۵	۷۷/۴۰	۱۵۴۰
۶	۸۵/۰۰	۱۷۰۰
۷	۷۹/۱۰	۱۵۸۰



شکل ۱۰. اثر غلظت بر کارایی حذف و ظرفیت جذب رنگ بازیک قرمز ۴۶ توسط بیونانوکامپوزیت CS@SiO<sub>2</sub>@Fe<sub>3</sub>O<sub>4</sub>

**Fig. 10. Effect of concentration on Basic Red 46 dye removal efficiency and adsorption capacity by Fe<sub>3</sub>O<sub>4</sub>@SiO<sub>2</sub>@CS bionanocomposite**

جدول ۴. مقایسه ظرفیت جذب رنگ بازیک قرمز ۴۶ توسط جاذب CS@SiO<sub>2</sub>@Fe<sub>3</sub>O<sub>4</sub> با دیگر جاذب ها

**Table 4. Comparison of Basic Red 46 dye adsorption capacity by Fe<sub>3</sub>O<sub>4</sub>@SiO<sub>2</sub>@CS adsorbent and other adsorbents**

جاذب	ظرفیت جذب (mg g <sup>-1</sup> )	pH	دوز جاذب (g L <sup>-1</sup> )	غلظت رنگ (mg L <sup>-1</sup> )	منبع
برگ درخت کاج	۷۱/۹۴	۶	۱	۱۰۰	[۲۸]
رس مراکشی	۵۴	۶	۰/۰۴	۲۰	[۲۹]
هسته زیتون وحشی	۷۸۱/۲۵	۹	۱	۱۰۰	[۳۰]
برگ درخت پرنسیس	۴۳/۱۰	۸	۱	۴۰	[۳۱]
Fe <sub>3</sub> O <sub>4</sub> @SiO <sub>2</sub> @CS	۱۷۰۰	۶	۰/۰۵	۱۰۰	مطالعه حاضر

### ۳-۲-۳- اثر غلظت بر کارایی حذف رنگ بازیک قرمز ۴۶

به منظور بررسی اثر غلظت بر میزان حذف رنگ بازیک قرمز ۴۶، غلظت های ۶۰-۱۰۰ mg L<sup>-1</sup> با pH ۶ در دمای ۲۰ °C با دوز جاذب ۰/۰۵ g L<sup>-1</sup> مورد بررسی قرار گرفت. نتایج حاصل از آزمایش ها در شکل ۱۰ نشان داده شده است. همان طور که مشاهده می شود با افزایش غلظت رنگ، ظرفیت جذب رنگ توسط جاذب افزایش یافته در حالی که کارایی حذف رنگ کاهش یافته است.

افتاده است. در pH های کمتر از ۶ به دلیل افزایش گروه های H<sup>+</sup> و در نتیجه پروتونه شدن سطح جاذب Fe<sub>3</sub>O<sub>4</sub>@SiO<sub>2</sub>@CS امکان جذب رنگ کاتیونی کاهش یافته و در نتیجه درصد حذف کاهش یافته است. در pH های بالاتر از ۶ نیز حلایت و تحرک پذیری رنگ کاهش می یابد و در نتیجه میزان دسترسی مولکول رنگ به سایت های فعال جذبی کاهش یافته که نتیجه آن کاهش درصد حذف بوده است [۲۶].

شدن توسط گروه عاملی کیتوسان پایدار مانده است. از طرف دیگر، وجود پیکهای مشخص موجود در طیف بیونانوکامپوزیت  $\text{Fe}_3\text{O}_4@\text{SiO}_4@\text{CS}$  نشان دهنده استقرار مناسب گروه عاملی کیتوسان بر سطح این بیونانوکامپوزیت می‌باشد. در نهایت، این بیونانوکامپوزیت به عنوان یک جاذب موثر و کارآمد جهت حذف رنگ بازیک قرمز ۴۶ از محلول‌های آبی به کار برده شد. نتایج آزمایش‌های جذب نشان داد که این بیونانوکامپوزیت دارای کارایی حذف ۹۷٪ و ظرفیت جذب  $1700 \text{ mg g}^{-1}$  بوده که نشان داد دارای پتانسیل بالایی جهت حذف آلاینده‌ها رنگی از محلول‌های آبی می‌باشد.

#### تقدیر و تشکر

نویسنده‌گان بر خود لازم می‌دانند تا مراتب تشکر و سپاس‌گزاری خود را از دانشگاه شهید بهشتی بابت حمایت مالی این کار پژوهشی اعلام دارند.

#### مراجع

- [1] T.-H. Liou, Preparation and characterization of nano-structured silica from rice husk, Materials Science and Engineering: A, 364(1) (2004) 313-323.
- [2] S. Kamari, F. Ghorbani, A.M. Sanati, Adsorptive removal of lead from aqueous solutions by amine-functionalized magMCM-41 as a low-cost nanocomposite prepared from rice husk: Modeling and optimization by response surface methodology, Sustainable Chemistry and Pharmacy, 13 (2019) 100153.
- [3] S. Kamari, F. Ghorbani, Synthesis of magMCM-41 with rice husk silica as cadmium sorbent from aqueous solutions: parameters' optimization by response surface methodology, Environmental Technology, 38(12) (2017) 1562-1579.
- [4] H. Motomura, T. Fujii, M. Suzuki, Distribution of silicified cells in the leaf blades of pleioblastus chino (Franchet et Savatier) Makino (Bambusoideae), Annals of Botany, 85(6) (2000) 751-757.
- [5] P.B. KAUFMAN, P. DAYANANDAN, C.I. FRANKLIN, Y. TAKEOKA, Structure and function of silica bodies in the

می‌توان گفت دلیل این امر آن است که با افزایش غلظت رنگ تعداد مولکول‌های رنگ افزایش یافته و در نتیجه مکان‌های جذبی موجود بر سطح جاذب اشیاع شده و بدین ترتیب درصد حذف رنگ کاهش می‌یابد. بنابراین می‌توان نتیجه گرفت که به دلیل وجود تعداد مکان‌های فعال جذبی بیشتر بر سطح جاذب در غلظت‌های کم رنگ درصد حذف رنگ افزایش می‌یابد [۲۷]. جدول ۴ ظرفیت جذب ( $\text{q}_{\text{g}}$ ) رنگ بازیک قرمز ۴۶ با استفاده از جاذب  $\text{Fe}_3\text{O}_4@\text{SiO}_4@\text{CS}$  را در مقایسه با سایر جاذب‌ها نشان می‌دهد. بر اساس اطلاعات به دست آمده، ظرفیت جذب رنگ بازیک قرمز ۴۶ با استفاده از جاذب  $\text{Fe}_3\text{O}_4@\text{SiO}_4@\text{CS}$  با دیگر جاذب‌های ارزان قیمت به خوبی قابل مقایسه بوده و کارایی آن بسیار مطلوب‌تر می‌باشد.

#### ۴- نتیجه‌گیری

در مطالعه حاضر، پسماند کشاورزی کلش گندم به عنوان یک ماده اولیه در دسترس و کم ارزش جهت تولید سیلیس بی‌شكل و فعال برای تولید مواد بر پایه سیلیس انتخاب گردید. جهت استخراج سیلیس، پسماند کشاورزی کلش گندم به دو روش احتراق معمولی و شست و شوی اسیدی با استفاده از اسیدهای  $\text{HNO}_3$ ,  $\text{HCl}$  و  $\text{H}_3\text{PO}_4$  و  $\text{H}_2\text{SO}_4$  مورد بررسی قرار گرفت. نتایج حاصل از آنالیز XRF نشان داد که سیلیس بی‌شكل و فعال به روش شست و شوی اسیدی با استفاده از  $\text{HNO}_3$  با خلوص ۹۶/۵٪ با موفقیت استخراج شده است. نتایج حاصل از آنالیز XRD بی‌شكل و فعال بودن سیلیس استخراج شده را تایید کرد. نتایج حاصل از آنالیز-FTIR نشان داد که سیلیس استخراج شده فعال بوده و ساختار شبکه سیلوکسان به خوبی در آن تشکیل شده است. به علاوه، تصاویر SEM نشان دادند که ذرات سیلیس استخراج شده به صورت کروی نبوده و ساختار آن‌ها نامنظم و فیبر مانند می‌باشد. در ادامه از سیلیس بی‌شكل و فعال استخراج شده از کلش گندم در سنتز نانوکامپوزیت  $\text{Fe}_3\text{O}_4@\text{SiO}_4$  استفاده شد و سپس این نانوکامپوزیت توسط گروه عاملی کیتوسان عامل‌دار گردید تا بیونانوکامپوزیت  $\text{Fe}_3\text{O}_4@(\text{SiO}_4@\text{CS})$  به دست آید. ویژگی‌های نانو مواد سنتز شده با استفاده از آنالیزهای BET, VSM, SEM, FT-IR, XRD و پتانسیل زتا مورد ارزیابی قرار گرفتند. نتایج حاصل از این بررسی‌ها نشان داد که ساختار کربستالی نانوکامپوزیت  $\text{Fe}_3\text{O}_4@\text{SiO}_4$  بعد از عامل‌دار

- [15] M.-S. Chiou, H.-Y. Li, Equilibrium and kinetic modeling of adsorption of reactive dye on cross-linked chitosan beads, *Journal of Hazardous Materials*, 93(2) (2002) 233-248.
- [16] F. Ghorbani, Y. Habibollah, Z. Mehraban, M.S. Çelik, A.A. Ghoreyshi, M. Anbia, Preparation and characterization of highly pure silica from sedge as agricultural waste and its utilization in the synthesis of mesoporous silica MCM-41, *Journal of the Taiwan Institute of Chemical Engineers*, 44(5) (2013) 821-828.
- [17] A.M. Sanati, S. Kamari, F. Ghorbani, Application of response surface methodology for optimization of cadmium adsorption from aqueous solutions by  $\text{Fe}_3\text{O}_4@\text{SiO}_2@\text{APTMS}$  core-shell magnetic nanohybrid, *Surfaces and Interfaces*, 17 (2019) 100374.
- [18] E. Du, S. Yu, L. Zuo, J. Zhang, X. Huang, Y. Wang, Pb(II) sorption on molecular sieve analogues of MCM-41 synthesized from kaolinite and montmorillonite, *Applied Clay Science*, 51(1) (2011) 94-101.
- [19] M.A. Baghapour, S. Pourfadakari, A.H. Mahvi, Investigation of reactive red dye 198 removal using multiwall carbon nanotubes in aqueous solution, *Journal of Industrial and Engineering Chemistry*, 20(5) (2014) 2921-2926.
- [20] W. Simanjuntak, S. Sembiring, K.D. Pandiangan, F. Syani, R. Situmeang, The use of liquid smoke as a substitute for nitric acid for extraction of amorphous silica from rice husk through sol-gel r, *Oriental Journal of Chemistry*, 32(4) (2016) 2079-2085.
- [21] C.S. Ferreira, P.L. Santos, J.A. Bonacin, R.R. Passos, L.A. Pocrifka, Rice husk reuse in the preparation of  $\text{SnO}_2/\text{SiO}_2$  nanocomposite, *Materials Research*, 18 (2015) 639-643.
- [22] H. Chen, F. Wang, C. Zhang, Y. Shi, G. Jin, S. Yuan, Preparation of nano-silica materials: the concept from wheat straw, *Journal of Non-Crystalline Solids*, 356(50) (2010) 2781-2785.
- [23] N. Nikraftar, F. Ghorbani, Adsorption of As(V) using modified magnetic nanoparticles with ascorbic acid: optimization by response surface methodology, *Water Air Soil Pollut*, 227(6) (2016) 178.
- epidermal system of grass shoots, *Annals of Botany*, 55(4) (1985) 487-507.
- [6] S. Agarie, W. Agata, H. Uchida, F. Kubota, P.B. Kaufman, Function of silica bodies in the epidermal system of rice (*Oryza sativa L.*): testing the window hypothesis, *Journal of Experimental Botanya*, 47(5) (1996) 655-660.
- [7] D. An, Y. Guo, Y. Zhu, Z. Wang, A green route to preparation of silica powders with rice husk ash and waste gas, *Chemical Engineering Journal*, 162(2) (2010) 509-514.
- [8] M. Madani Hosseini, Y. Shao, J.K. Whalen, Biocement production from silicon-rich plant residues: perspectives and future potential in Canada, *Biosystems Engineering*, 110(4) (2011) 351-362.
- [9] T. Robinson, B. Chandran, P. Nigam, Removal of dyes from a synthetic textile dye effluent by biosorption on apple pomace and wheat straw, *Water Research*, 36(11) (2002) 2824-2830.
- [10] F. Ghorbani, S. Kamari, Application of response surface methodology for optimization of methyl orange adsorption by Fe-grafting sugar beet bagasse, *Adsorption Science & Technology*, 35(3-4) (2017) 317-338.
- [11] J. Wang, S. Zheng, Y. Shao, J. Liu, Z. Xu, D. Zhu, Amino-functionalized  $\text{Fe}_3\text{O}_4@\text{SiO}_2$  core-shell magnetic nanomaterial as a novel adsorbent for aqueous heavy metals removal, *Journal of Colloid and Interface Science*, 349(1) (2010) 293-299.
- [12] H. Shi, J. Yang, L. Zhu, Y. Yang, H. Yuan, Y. Yang, X. Liu, Removal of  $\text{Pb}^{2+}$ ,  $\text{Hg}^{2+}$ , and  $\text{Cu}^{2+}$  by chain-like  $\text{Fe}_3\text{O}_4@\text{SiO}_2@\text{Chitosan}$  magnetic nanoparticles, *Journal of Nanoscience and Nanotechnology*, 16(2) (2016) 1871-1882.
- [13] F. Ghorbani, S. Kamari, Core-shell magnetic nanocomposite of  $\text{Fe}_3\text{O}_4@\text{SiO}_2@\text{NH}_2$  as an efficient and highly recyclable adsorbent of methyl red dye from aqueous environments, *Environmental Technology & Innovation*, 14 (2019) 100333.
- [14] C.-H. Wu, Adsorption of reactive dye onto carbon nanotubes: equilibrium, kinetics and thermodynamics, *Journal of Hazardous Materials*, 144(1) (2007) 93-100.

- equilibrium and thermodynamic studies, Chemical Engineering Journal, 184 (2012) 238-247.
- [28] F. Deniz, S. Karaman, Removal of basic red 46 dye from aqueous solution by pine tree leaves, Chemical Engineering Journal, 170(1) (2011) 67-74.
- [29] A.B. Karim, B. Mounir, M. Hachkar, M. Bakasse, A. Yaacoubi, Removal of basic red 46 dye from aqueous solution by adsorption onto moroccan clay, Journal of Hazardous Materials, 168(1) (2009) 304-309.
- [30] F. Kaouah, S. Boumaza, T. Berrama, M. Trari, Z. Bendjama, Preparation and characterization of activated carbon from wild olive cores (oleaster) by  $H_3PO_4$  for the removal of basic red 46, Journal of Cleaner Production, 54 (2013) 296-306.
- [31] F. Deniz, S.D. Saygideger, Removal of a hazardous azo dye (basic red 46) from aqueous solution by princess tree leaf, Desalination, 268(1) (2011) 6-11.
- [24] S. Kamari, A. Shahbazi, Biocompatible  $Fe_3O_4@SiO_2-NH_2$  nanocomposite as a green nanofiller embedded in PES-nanofiltration membrane matrix for salts, heavy metal ion and dye removal: Long-term operation and reusability tests, Chemosphere, 243 (2020) 125282.
- [25] N. Nikraftar, F. Ghorbani, Synthesis of magnetic nanohybrid of  $Fe^{3+}$ -TMSPT-MNPs as a novel adsorbent: optimization of Cr(VI) adsorption by response surface methodology, Desalination and Water Treatment, 76 (2017) 241-253.
- [26] F. Ghorbani, S. Kamari, S. Zamani, S. Akbari, M. Salehi, Optimization and modeling of aqueous Cr(VI) adsorption onto activated carbon prepared from sugar beet bagasse agricultural waste by application of response surface methodology, Surfaces and Interfaces, 18 (2020) 100444.
- [27] Z.A. Al-Othman, R. Ali, M. Naushad, Hexavalent chromium removal from aqueous medium by activated carbon prepared from peanut shell: adsorption kinetics,

چگونه به این مقاله ارجاع دهیم

E. Najafi, A. Shahbazi, S. Kamari, Synthesis of  $Fe_3O_4@SiO_2@CS$  magnetic bio-nanocomposite by silica extracted from wheat straw for removal of Basic Red 46 dye from aqueous solutions. Amirkabir J. Civil Eng., 53(6) (2021) 2353-2370

DOI: [10.22060/ceej.2020.17391.6548](https://doi.org/10.22060/ceej.2020.17391.6548)



